

Angewandte Industrielle Robotik

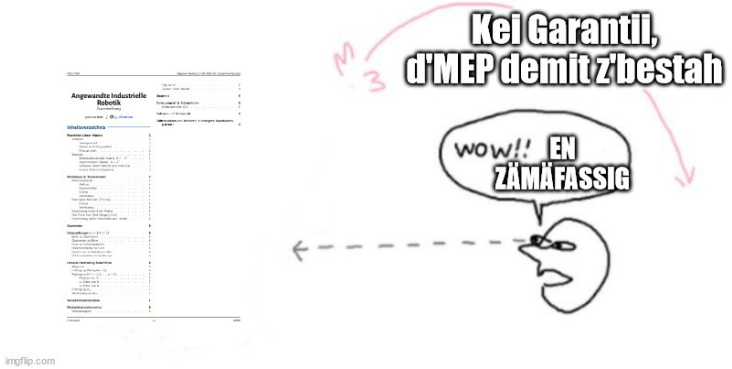
Zusammenfassung

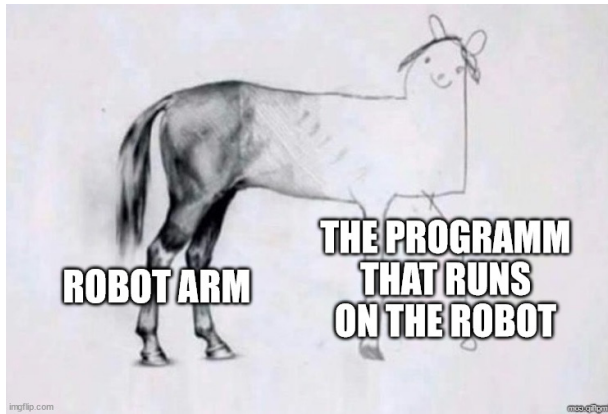
Joel von Rotz /  [Quelldateien](#)

Inhaltsverzeichnis

Repetition Linear Algebra	2
Vektoren	2
Skalarprodukt	2
Winkel & Orthogonalität	2
Kreuzprodukt	2
Matrizen	3
Schiefsymmetrische Matrix: $A = -A^T$	3
Asymmetrische Matrix: $A = A^T$	3
Selektion Untermatrizen oder Vektoren	3
Inverse Matrix/Kehrmatrix	3
Rotationen & Translationen	4
Rotationsmatrix	4
Aufbau	4
Eigenschaften	4
Inverse	4
Verkettung	4
Homogene Matrizen (Frames)	4
Inverse	5
Verkettung	5
Orientierung durch Euler-Winkel	5
Roll Pitch Yaw (Roll Neigung Gier)	5
Orientierung durch Drehvektor und -winkel	6
Quaternion	6
Umwandlungen $Q \leftrightarrow EA \leftrightarrow {}^k_iA$	6
Euler zu Quartenion	6
Quartenion zu Euler	6
Euler zu Rotationsmatrix	6
Rotationsmatrix zu Euler	6
Quaternion zu Rotationsmatrix	6
Rotationsmatrix zu Quaternion	6
Denavit-Hartenberg-Konvention	6
Allgemein	6
Festlegung Weltsystem K_0	6
Festlegung $K_i (i = 1, 2, \dots, n - 1)$	7
Position von K_i	7
z_i -Achse von K_i	7
x_i -Achse von K_i	7
Festlegung K_n	7
Als Rotationsmatrix	7
Vorwärtstransformation	7
Rückwärtstransformation	8
Mehrdeutigkeit	8

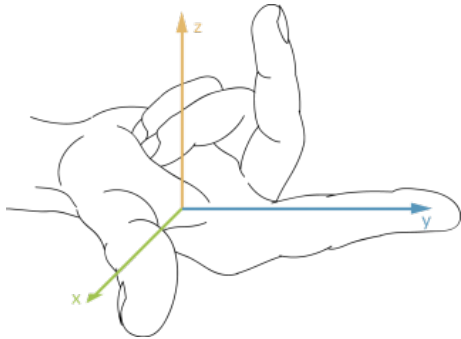
Singularität	8
Geometrischer Ansatz	8
Spaghett	8
Bewegungsort & Interpolation	8
Bahnparameter $s(t)$	8
Software mit Schneebeli	8
Differenzieren von Vektoren in bewegten Koordinaten-systemen	8





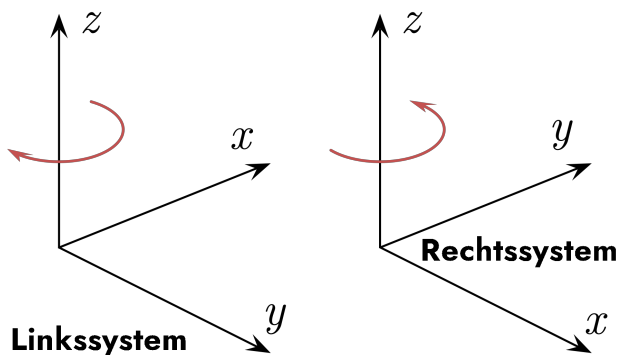
i Rechtssystem

Robotereffektoren, Armteile, etc. werden im kartesischen Koordinatensystem dargestellt anhand des **Rechtssystems**.



i Drehung mit der Rechtenhandregel

Bei der Rotation von Rechtssystemen kann die rechte Handregel angewendet werden. Der Daumen zeigt in die gleiche Richtung der Drehachse (vom Nullpunkt nach ausen) und die rechtstlichen Finger zeigen die Drehrichtung an: **Gegenunzeigersinn!**



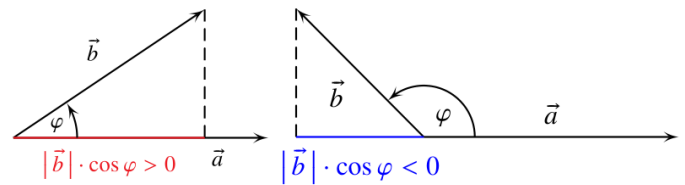
Repetition Linear Algebra

Für das meiste die [Linear Algebra Zusammenfassung](#) anschauen.

Aber sonst das Wichtigste

Vektoren

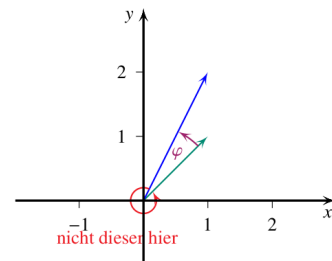
Skalarprodukt



Das Skalarprodukt entspricht der Multiplikation der Projektion \vec{b}_a auf \vec{a} mit \vec{a}

$$\vec{a} \cdot \vec{b} = \begin{bmatrix} a_1 \\ \vdots \\ a_n \end{bmatrix} \cdot \begin{bmatrix} b_1 \\ \vdots \\ b_n \end{bmatrix} = a_1 \cdot b_1 + \dots + a_n \cdot b_n = \sum_{i=1}^n a_i \cdot b_i$$

Winkel & Orthogonalität



Beim Berechnen des Winkels zwischen zwei Vektoren

$$\varphi = \arccos \frac{\vec{x} \cdot \vec{y}}{\|\vec{x}\| \cdot \|\vec{y}\|}$$

Es gilt:

- $\vec{a} \cdot \vec{b} > 0$ wenn $\varphi < \frac{\pi}{2}$
- $\vec{a} \cdot \vec{b} < 0$ wenn $\varphi > \frac{\pi}{2}$

! Definition Orthogonalität

Sind zwei Vektoren *orthogonal/senkrecht* zueinander, ergibt das Skalarprodukt

$$\vec{a} \cdot \vec{b} = 0 \quad \text{und} \quad \varphi = \frac{\pi}{2}$$

i Richtungswinkel in \mathbb{R}^3

$$\cos \alpha = \frac{a_x}{a} \quad \& \quad \cos \beta = \frac{a_y}{a} \quad \& \quad \cos \gamma = \frac{a_z}{a}$$

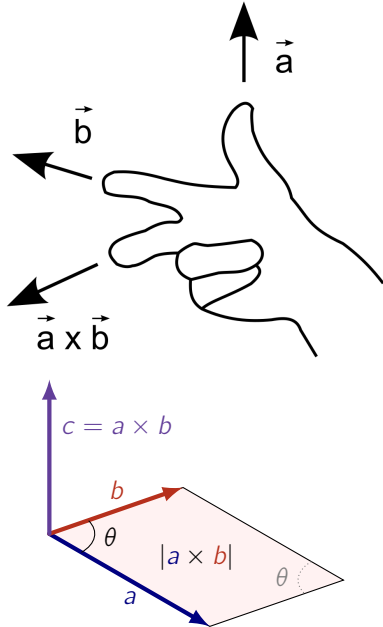
$$\cos^2 \alpha + \cos^2 \beta + \cos^2 \gamma = 1$$

Kreuzprodukt

Mit dem Kreuzprodukt kann ein **orthogonaler** Vektor Teil eines Rechtssystems bestimmen werden.

$$\vec{c} = \vec{a} \times \vec{b} = \begin{bmatrix} c_x \\ c_y \\ c_z \end{bmatrix} = \begin{bmatrix} a_y \cdot b_z - a_z \cdot b_y \\ a_z \cdot b_x - a_x \cdot b_z \\ a_x \cdot b_y - a_y \cdot b_x \end{bmatrix}$$

Der Mittelfinger der beiden Vektoren ist das Kreuzprodukt. Je nach Betrachtung des Systems zeigt der Normalvektor in die andere Richtung



Matrizen

Schiefsymmetrische Matrix: $A = -A^T$

$$A^T = -A \Rightarrow \begin{bmatrix} 0 & 7 & 23 \\ -7 & 0 & -4 \\ -23 & 4 & 0 \end{bmatrix}^T = \begin{bmatrix} 0 & -7 & -23 \\ 7 & 0 & 4 \\ 23 & -4 & 0 \end{bmatrix}$$

Asymmetrische Matrix: $A \neq A^T$

$$A^T \neq -A \Rightarrow \begin{bmatrix} 0 & 1 & 2 \\ 1 & 0 & 3 \\ 2 & 3 & 0 \end{bmatrix}^T = \begin{bmatrix} 0 & 1 & 2 \\ 1 & 0 & 3 \\ 2 & 3 & 0 \end{bmatrix}$$

Selektion Untermatrizen oder Vektoren

$$A = \begin{bmatrix} 1 & 0 & 0 \\ 0 & 3 & 0 \\ 0 & 0 & 5 \end{bmatrix}$$

$$A(1:2, 1:2) \quad A(:, 3)$$

Inverse Matrix/Kehrmatrix

Für 2×2 Matrizen:

$$A = \begin{bmatrix} a & b \\ c & d \end{bmatrix}$$

$$A^{-1} = \frac{1}{\det A} \begin{bmatrix} d & -b \\ -c & a \end{bmatrix} = \frac{1}{ad - bc} \begin{bmatrix} d & -b \\ -c & a \end{bmatrix}$$

Anhand der Adjunkte $\text{adj}(B)$ um 3×3 Matrizen zu invertieren (auch grössere möglich).

$$B = \begin{bmatrix} a & b & c \\ d & e & f \\ g & h & i \end{bmatrix}$$

$$\text{inv}(B) = B^{-1} = \frac{1}{\det(B)} \cdot \text{adj}(B) \quad \text{adj}(B) = [\text{cof}(B)]^T$$

Bevor diese Berechnung gemacht werden kann, muss die Matrix auf die Invertierbarkeit geprüft werden \rightarrow Determinante $\det(B) \neq 0$

$$B = \begin{bmatrix} a^+ & b^- & c^+ \\ d^- & e^+ & f^- \\ g^+ & h^- & i^+ \end{bmatrix} \quad \text{adj}(B) = \begin{bmatrix} +\det\left(\begin{bmatrix} e & f \\ h & i \end{bmatrix}\right) & \dots & \dots \\ -\det\left(\begin{bmatrix} a & c \\ g & i \end{bmatrix}\right) & \dots & \dots \\ \vdots & \vdots & \vdots \end{bmatrix}^T$$

Diagram illustrating the calculation of the adjugate matrix $\text{adj}(B)$ for a 3×3 matrix B . The matrix B is shown with signs indicating the cofactor pattern. The adjugate matrix is shown as the transpose of the cofactor matrix. Three examples of 3×3 matrices are shown below, each with one row or column highlighted to show the calculation of a cofactor.

$$E = \begin{bmatrix} -2 & 4 & 1 \\ 4 & -1 & 0 \\ 1 & 0 & 4 \end{bmatrix}$$

$$\text{inv}(E) = E^{-1} = \frac{\text{adj}(E)}{\det(E)}$$

Rotationen & Translationen

Rotationsmatrix

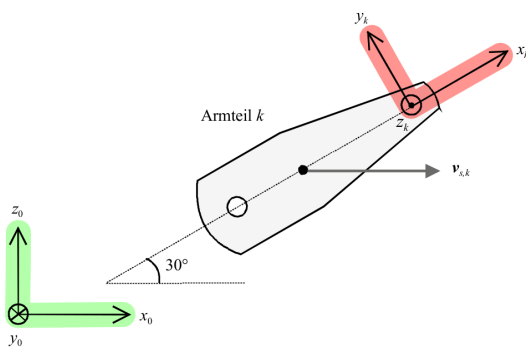
Rotationsmatrix beschreibt eine **Rotation** und wird in Form ${}^a_b R$ dargestellt. Das a_b beschreibt Rotationsmatrix von **a** nach **b**.

Aufbau

Die Matrix wird folgend beschrieben.

$${}^a_b R = \begin{bmatrix} x_a^{(b)} & y_a^{(b)} & z_a^{(b)} \end{bmatrix}$$

Beispiel



$$v_{s,k}^{(k)} = {}^0_k T \cdot v_{s,k}^{(0)}$$

Vektor $v_{s,k}^{(0)}$ wird im 0 Koordinatensystem dargestellt, nun wird es mit ${}^0_k T$ multipliziert. Das Endprodukt ist immer noch der gleiche Vektor, einfach nun im Bezug zum Koordinatensystem k

Eigenschaften

- Zeilen- & Spaltenvektoren sind **orthogonal** zueinander
- Determinante $\det({}^k_0 A) = 1$
- Betrag von Spalten & Zeilen = 1

Inverse

$$({}^k_0 A)^{-1} = {}^0_k A = {}^k_0 A^T$$

Verkettung

$${}^k_i A = {}^{i+1}_i A \cdot {}^{i+2}_{i+1} A \cdot \dots \cdot {}^{k-1}_{k-2} A \cdot {}^k_{k-1} A$$

und einer inverse Verkettung:

$$\begin{aligned} {}^i_k A &= [{}^k_i A]^T = {}^{k-1}_k A^T \cdot {}^{k-2}_{k-1} A^T \cdot \dots \cdot {}^{i+2}_{i+1} A^T \cdot {}^{i+1}_i A^T \\ &= {}^{k-1}_k A \cdot {}^{k-2}_{k-1} A \cdot \dots \cdot {}^{i+1}_{i+2} A \cdot {}^i_{i+1} A \end{aligned}$$

Beispiel

$${}^3_1 A = {}^2_1 A \cdot {}^3_2 A$$

$${}^1_3 A = {}^3_2 A^T \cdot {}^2_1 A^T = {}^2_3 A \cdot {}^1_2 A$$

Homogene Matrizen (Frames)

Damit die Lage des Effektors im Raum eindeutig bestimmbar ist, wird die Rotationsmatrix mit einem Verschiebungsvektor erweitert. Dadurch ist **Orientierung** und **Position** bestimmbar.

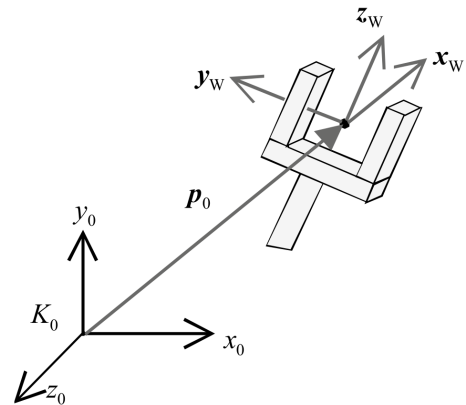
$$a^{(k)} = {}^0_k T \cdot a^{(0)}$$

Vom Bergspitz **0** aus den See **a** anschauen, dann via dem Wanderweg ${}^0_k T$ zum Bergspitz **k** und von dort auf denselben See **a** schauen.

Die homogene Matrix/Frame besteht aus einer **Rotation**, einer **Translation** und einem sehr markanten **1**.

$${}^k_i T = \begin{bmatrix} x_k^{(i)} & y_k^{(i)} & z_k^{(i)} & p_{ik}^{(i)} \\ 0 & 0 & 0 & 1 \end{bmatrix}$$

Die Verschiebung wird genutzt um ein Frame auf eine Position zu setzen, z.B. am TCP des Werkzeugs.



Beispiel

Vektor a wird vom Koordinatensystem K_k ins System K_i überführt. Bei **Freien** Vektor wird der Wert in der vierten Zeile auf **0** gesetzt, da die Position des Vektors nicht wichtig ist → Rotation würde genügen

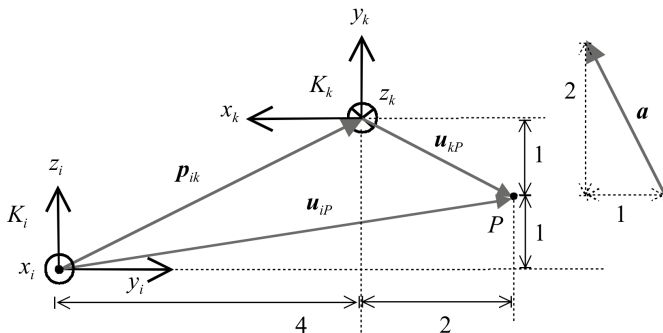
$${}^k_i T = \begin{bmatrix} 0 & 0 & -1 & 0 \\ -1 & 0 & 0 & 4 \\ 0 & 1 & 0 & 2 \\ 0 & 0 & 0 & 1 \end{bmatrix}, \quad a^{(k)} = \begin{bmatrix} 1 \\ 2 \\ 0 \\ 0 \end{bmatrix}$$

$$a^{(i)} = {}^k_i T \cdot a^{(k)} = \begin{bmatrix} 0 & 0 & -1 & 0 \\ -1 & 0 & 0 & 4 \\ 0 & 1 & 0 & 2 \\ 0 & 0 & 0 & 1 \end{bmatrix} \cdot \begin{bmatrix} 1 \\ 2 \\ 0 \\ 0 \end{bmatrix} = \begin{bmatrix} 0 \\ -1 \\ 2 \\ 0 \end{bmatrix}$$

Der Nutzen des Frames ist bei Ortsvektoren ersichtlich. Bei diesen Vektoren wird der vierte Wert auf **1** gesetzt. Vektor $u_{kP}^{(k)}$ zeigt auf Punkt P und wird nun im Bezug zu K_i in $u_{iP}^{(i)}$ transformiert.

$$u_{kP}^{(k)} = \begin{bmatrix} -2 \\ -1 \\ 0 \\ 1 \end{bmatrix}$$

$$u_{iP}^{(i)} = {}^k_i T \cdot u_{kP}^{(k)} = \begin{bmatrix} 0 & 0 & -1 & \mathbf{0} \\ -1 & 0 & 0 & \mathbf{4} \\ 0 & 1 & 0 & \mathbf{2} \\ 0 & 0 & 0 & \mathbf{1} \end{bmatrix} \cdot \begin{bmatrix} -2 \\ -1 \\ 0 \\ 1 \end{bmatrix} = \begin{bmatrix} 0 \\ 6 \\ 1 \\ 1 \end{bmatrix}$$



Während ein freier Vektor sich nicht verändert, ändern sich Ortsvektoren zu komplett neuen Vektoren ($|u_{kP}^{(k)}| \neq |u_{iP}^{(i)}|$).

Inverse

Zu **jeder** homogenen Matrix ist **immer** die inverse homogene Matrix gegeben und es gilt speziell:

$${}^i_k T = ({}^k_i T)^{-1} = \begin{bmatrix} {}^k_i A^T & -{}^k_i A^T \cdot p_{ik}^{(i)} \\ 0 & 0 & 0 & 1 \end{bmatrix}$$

Verkettung

$${}^k_i T = {}^{i+1}_i T \cdot {}^{i+2}_{i+1} T \cdot \dots \cdot {}^{k-1}_{k-2} T \cdot {}^k_{k-1} T$$

und einer inverse Verkettung:

$$\begin{aligned} {}^i_k T &= [{}^k_i T]^{-1} = {}^{k-1}_{k-1} T^{-1} \cdot {}^{k-2}_{k-2} T^{-1} \cdot \dots \cdot {}^{i+2}_{i+1} T^{-1} \cdot {}^{i+1}_i T^{-1} \\ &= {}^{k-1}_k T \cdot {}^{k-2}_{k-1} T \cdot \dots \cdot {}^{i+1}_{i+2} T \cdot {}^i_{i+1} T \end{aligned}$$

⚠ $]^{-1}$ anstatt $]^T$

Da die homogene Matrix nicht einfach so transponiert werden darf, muss die spezielle Umformung verwendet werden!

Orientierung durch Euler-Winkel

Eine Drehung eines Frames im Bezug zu einem anderen ist durch **drei** Winkel angegeben. Diese drei Winkel werden **Euler-**

Winkel genannt, wenn diese nacheinander ausgeführt werden.

$$\begin{aligned} R_{ZYX} = {}^W_R A &= \begin{pmatrix} x_W^{(R)} & y_W^{(R)} & z_W^{(R)} \end{pmatrix} = \underbrace{R_Z(A)}_3 \cdot \underbrace{R_Y(B)}_2 \cdot \underbrace{R_X(C)}_1 \\ &= \begin{bmatrix} C_A & -S_A & 0 \\ S_A & C_A & 0 \\ 0 & 0 & 1 \end{bmatrix} \cdot \begin{bmatrix} C_B & 0 & S_B \\ 0 & 1 & 0 \\ -S_B & 0 & C_B \end{bmatrix} \cdot \begin{bmatrix} 1 & 0 & 0 \\ 0 & C_C & -S_C \\ 0 & S_C & C_C \end{bmatrix} \\ &= \begin{bmatrix} \mathbf{C_A \cdot C_B} & -S_A \cdot C_C + C_A \cdot S_B \cdot S_C & S_A \cdot S_C + C_A \cdot S_B \cdot C_C \\ \mathbf{S_A \cdot C_B} & C_A \cdot C_C + S_A \cdot S_B \cdot S_C & -C_A \cdot S_C + S_A \cdot S_B \cdot C_C \\ \mathbf{-S_B} & \mathbf{C_B \cdot S_C} & \mathbf{C_B \cdot C_C} \end{bmatrix} \end{aligned}$$

$$B = \arcsin(-\mathbf{R}_{31})$$

$$A = \text{atan2}(\mathbf{R}_{21}, \mathbf{R}_{11})$$

$$C = \text{atan2}(\mathbf{R}_{32}, \mathbf{R}_{33})$$

💡 Tipp

Da cos eine gerade Funktion ist, ergeben $\cos(\pm\alpha)$ den gleichen Wert, z.B. $\cos(\pm 45^\circ) = \frac{1}{\sqrt{2}}$.
sin ist ungerade und daher ist der sin-Wert immer verkehrt $\sin(\pm\alpha) = \mp a$

$$\text{atan2}(x, y) = \begin{cases} \arctan\left(\frac{y}{x}\right) & \text{wenn } x > 0, \\ \arctan\left(\frac{y}{x}\right) + \pi & \text{wenn } x < 0 \text{ und } y \geq 0, \\ \arctan\left(\frac{y}{x}\right) - \pi & \text{wenn } x < 0 \text{ und } y < 0, \\ +\frac{\pi}{2} & \text{wenn } x = 0 \text{ und } y > 0, \\ -\frac{\pi}{2} & \text{wenn } x = 0 \text{ und } y < 0, \\ \text{undefiniert} & \text{wenn } x = 0 \text{ und } y = 0. \end{cases}$$

Roll Pitch Yaw (Roll Neigung Gier)

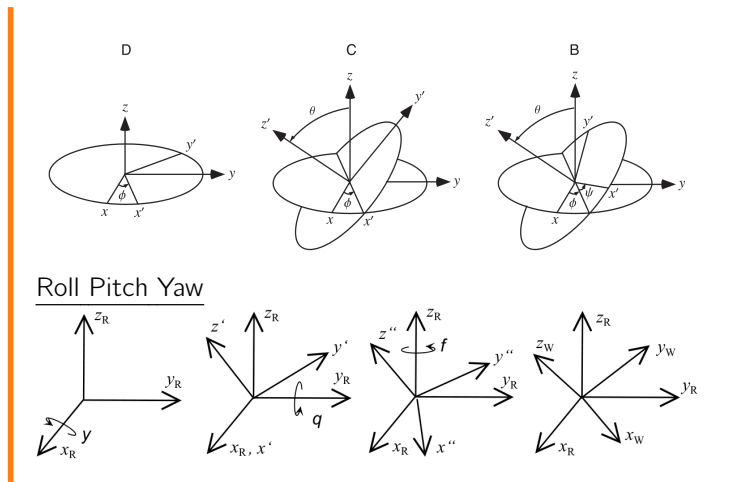
- Drehung um die **x-Basis**achse mit dem Winkel ψ (**yaw**)
- Drehung um die **y-Basis**achse mit dem Winkel θ (**pitch**)
- Drehung um die **z-Basis**achse mit dem Winkel ϕ (**roll**)

$$\begin{aligned} R(\psi, \theta, \phi) = {}^W_R A &= \begin{pmatrix} x_W^{(R)} & y_W^{(R)} & z_W^{(R)} \end{pmatrix} \\ &= \begin{bmatrix} C_A \cdot C_\theta & -S_A \cdot C_\theta + C_A \cdot S_\theta \cdot S_C & S_A \cdot S_\theta + C_A \cdot S_\theta \cdot C_C \\ S_A \cdot C_\theta & C_A \cdot C_\theta + S_A \cdot S_\theta \cdot S_C & -C_A \cdot S_\theta + S_A \cdot S_\theta \cdot C_C \\ -S_\theta & C_\theta \cdot S_C & C_\theta \cdot C_C \end{bmatrix} \end{aligned}$$

🔥 Unterschied RPY & Euler

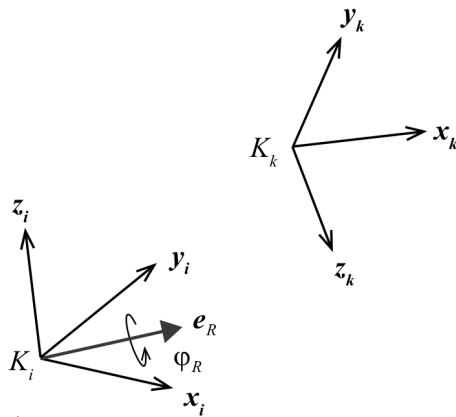
Während bei Euler Drehungen immer vom neuen Koordinatensystem gedreht wird, werden bei RPY Drehungen immer vom Ursprünglichen Koordinatensystem gedreht

Euler Winkel



Orientierung durch Drehvektor und -winkel

Drehung wird um einen Drehvektor gemacht → den *direkten* Weg



$$\varphi_R = 2 \cdot \arccos(qt_1) \quad e_R = \begin{bmatrix} qt_2 \\ qt_3 \\ qt_4 \end{bmatrix} / \sin(0.5 \cdot \varphi_R)$$

Da die Ermittlung des Drehvektors e_R und des Drehwinkels φ_R aufwendig ist, wird meistens mit Euler-Winkeln gearbeitet. Ein **Vorteil** von Drehvektor & -winkel bei der Bahnsteuerung/kontinuierliche Veränderung → Dies wird auch mit **Quaternions** gemacht!

Quaternion

Mit Quaternion können Drehungen in kompakter Form dargestellt werden, analog zu komplexen Zahlmultiplikation für Rotationen. Zusätzlich gibt es kein *Gimbal-Lock* (Zwei Rotationsachsen sind gleich und daher hat man ein Freiheitsgrad weniger). In AROB wird mit Einheitsquaternion gearbeitet: $\sqrt{qt_1^2 + qt_2^2 + qt_3^2 + qt_4^2} = 1$.

$$q = \begin{bmatrix} qt_1 \\ qt_2 \\ qt_3 \\ qt_4 \end{bmatrix} = \underbrace{qt_1}_{\text{real/Skalar Komp.}} + \underbrace{qt_2 i + qt_3 j + qt_4 k}_{\text{imaginär/Vektor Komp.}}$$

[TODO]

Umwandlungen $Q \leftrightarrow EA \leftrightarrow {}^k_i A$

[TODO]

Euler zu Quaternion

[TODO]

Quaternion zu Euler

[TODO]

Euler zu Rotationsmatrix

[TODO]

Rotationsmatrix zu Euler

[TODO]

Quaternion zu Rotationsmatrix

[TODO]

$${}^W_0 A = \begin{bmatrix} 2 \cdot (qt_1^2 + qt_2^2) - 1 & 2 \cdot (qt_2 \cdot qt_3 - qt_1 \cdot qt_4) \\ \dots & \dots \end{bmatrix}$$

[TODO]

Rotationsmatrix zu Quaternion

$${}^k_i A = \begin{bmatrix} A_{11} & A_{12} & A_{13} \\ A_{21} & A_{22} & A_{23} \\ A_{31} & A_{32} & A_{33} \end{bmatrix}$$

$$\begin{bmatrix} qt_1 \\ qt_2 \\ qt_3 \\ qt_4 \end{bmatrix} = \begin{bmatrix} 0.5 \cdot \sqrt{A_{11} + A_{22} + A_{33} + 1} \\ 0.5 \cdot \text{sgn}(A_{32} - A_{23}) \cdot \sqrt{A_{11} - A_{22} - A_{33} + 1} \\ 0.5 \cdot \text{sgn}(A_{13} - A_{31}) \cdot \sqrt{A_{22} - A_{33} - A_{11} + 1} \\ 0.5 \cdot \text{sgn}(A_{21} - A_{12}) \cdot \sqrt{A_{33} - A_{11} - A_{22} + 1} \end{bmatrix}$$

Denavit-Hartenberg-Konvention

Die DH-Konvention beschreibt die Achsen-Zusammenhänge mit vier Parametern (zwei Rotationen und zwei Translationen), welche in folgender Reihenfolge abgearbeitet wird.

1. $\theta_i / ^\circ$: Drehung an der z_i -Achse
2. d_i / m : Verschiebung Richtung z_i -Achse
3. a_i / m : Verschiebung Richtung x_i -Achse
4. $\alpha_i / ^\circ$: Drehung an der x_i -Achse

Allgemein

Jedes Armteil i ($i = 0, 1, \dots, n$) eines Roboters mit n Gelenken wird mit einem Koordinatensystem K_i versehen. K_i ist mit Armteil i fest verbunden.

Die DH Parameter sind so auszulegen, das man K_i in K_{i+1} überführt werden kann.

Festlegung Weltsystem K_0

- K_0 ist fest mit ruhender Basis (AT0) verbunden
- **Positon von K_0** irgendwo auf 1.Gelenkachse → möglichst nahe AT1

- z_0 -Achse zeigt entlang 1. Gelenkachse $\rightarrow x_0$ - & y_0 -Achse frei wählbar solange **Rechtssystem**

Festlegung $K_i (i = 1, 2, \dots, n-1)$

Allgemein: K_i liegt auf Gelenkachse $i+1$

Position von K_i

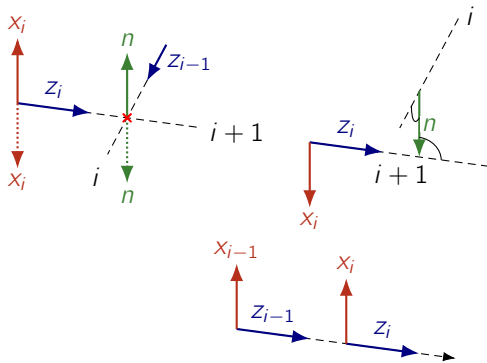
- K_i liegt im Schnittpunkt von Gelenkachse i & $i+1$
- **oder** verlaufen Gelenkachsen i & $i+1$ parallel, dann K_i irgendwo auf Gelenkachse $i+1$
 - sinnvoll: zuerst K_{i+1} festlegen, danach K_i so legen, dass Abstand minimal ist.
- **oder** Gelenkachsen i & $i+1$ **nicht** parallel und **nicht** schneidend, dann K_i auf Schnittpunkt der Normalen der Gelenkachsen setzen.

z_i -Achse von K_i

- z_i -Achse entlang der Gelenkachse $i+1 \rightarrow 2$ Möglichkeiten

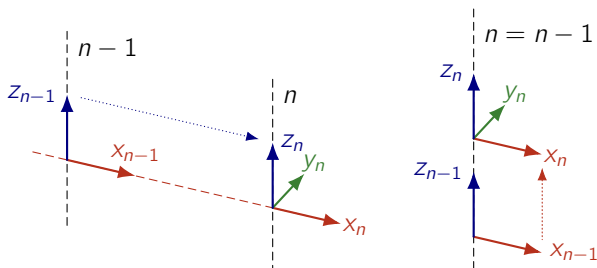
x_i -Achse von K_i

- Wenn z_{i-1} & z_i -Achse schneiden: x_i -Achse parallel zum Kreuzprodukt von $z_{i-1} \times z_i \rightarrow 2$ Möglichkeiten
- Wenn z_{i-1} & z_i -Achse **nicht** schneiden: x_i -Achse entlang gemeinsame Normalen von Achsen i & $i+1$
- z_{i-1} -Achse auf z_i -Achse: x_i -Achse = x_{i-1} -Achse



Festlegung K_n

- z_n -Achse separat von z_{n-1} : x_n -Achse zeigt von Gelenkachse $n-1$ zu n .
- z_n -Achse auf z_{n-1} -Achse: x_n -Achse zeigt in gleiche Richtung wie x_{n-1} -Achse

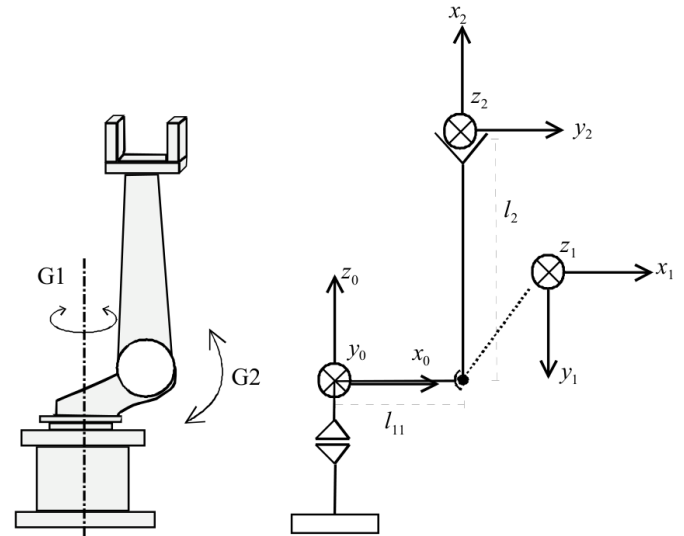


[TODO]

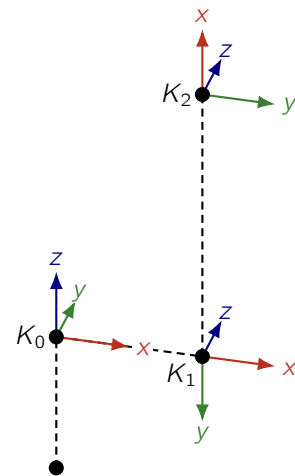
Beispiel

Folgender Roboter wird in DH Parametern beschrieben.

1. Weltsystem K_0 bestimmen (z.B. Ende des 1. Gelenkes)
- 2.



Gelenk	$\theta_i/^\circ$	d_i/m	a_i/m	$\alpha_i/^\circ$
1	0	0	l_{11}	-90
2	-90	0	l_2	0



Als Rotationsmatrix

$${}_{i-1}^i T = \begin{bmatrix} x_i^{(i-1)} & y_i^{(i-1)} & z_i^{(i-1)} & p_{i-1,i}^{(i-1)} \\ 0 & 0 & 0 & 1 \end{bmatrix}$$

$$= \begin{bmatrix} C_{\theta_i} & -S_{\theta_i} \cdot C_{\alpha_i} & S_{\theta_i} \cdot S_{\alpha_i} & a_i \cdot C_{\theta_i} \\ S_{\theta_i} & C_{\theta_i} \cdot C_{\alpha_i} & -C_{\theta_i} \cdot S_{\alpha_i} & a_i \cdot S_{\theta_i} \\ 0 & S_{\alpha_i} & C_{\alpha_i} & d_i \\ 0 & 0 & 0 & 1 \end{bmatrix}$$

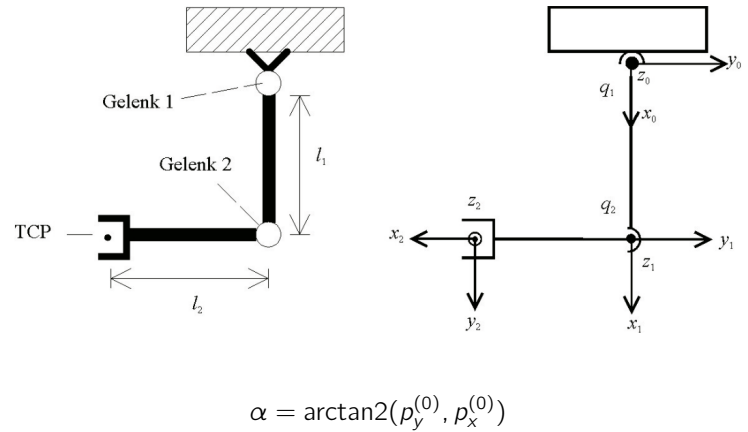
Vorwärtstransformation

Sind die Gelenkkordinaten (Winkel) bekannt, kann die Lage des TCP und Orientierung des Effektors eindeutig beschrieben werden.

$$T_W(q) = {}^0T(q) = {}^0T(q_1) \cdot {}^1T(q_2) \cdots {}^{n-2}T(q_{n-1}) \cdot {}^{n-1}T(q_n)$$

Ist ein Ortsvektor $u_{(i)}$, welcher mit Armteil i verbunden ist und auf Punkt P zeigt, gegeben, kann dieser im Raum berechnet (4. Komponente = 1):

$$u_{0P}^{(0)} = {}^i_0T(q) \cdot u_{iP}^{(i)} = {}^0T(q_1) \cdot {}^1T(q_2) \cdots {}^{i-1}T(q_i) \cdot u_{(i)}_{iP}$$

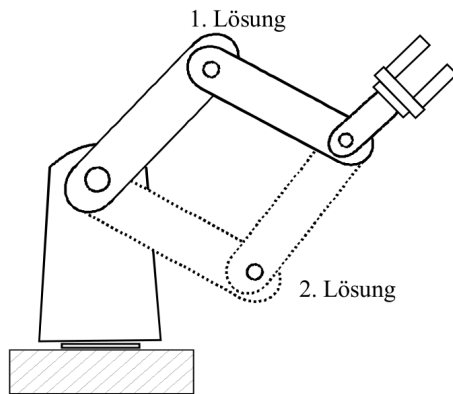


q_1

Rückwärtstransformation

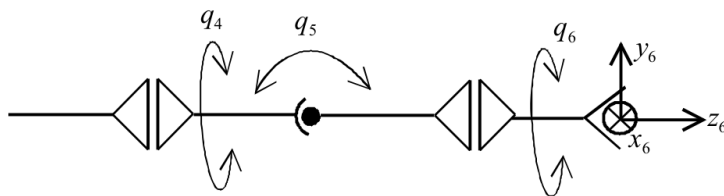
Mehrdeutigkeit

Mehrere Lösungen von Gelenkkordinaten für die Lage des TCP (Orientierung & Position).



Singularität

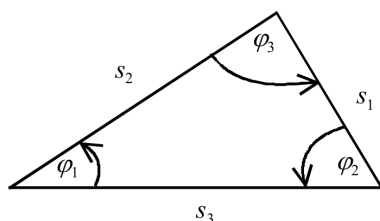
Beispiel: q_4 & q_6 verfügen über unendlich viele Lösungen.



Ein Ansatz wäre das **Gütekriterium**, in welche man eine Lösung nimmt, welche am nächsten zur vorhergehenden Lösung liegt.

$$f(q_4, q_6) = c_1 \cdot (q_{4,A} - q_4)^2 + c_2 \cdot (q_{6,A} - q_6)^2 \stackrel{!}{=} \text{MIN}$$

Geometrischer Ansatz



$$\begin{aligned} s_1^2 &= s_2^2 + s_3^2 - 2 \cdot s_2 \cdot s_3 \cdot \cos \varphi_1 \\ s_2^2 &= s_1^2 + s_3^2 - 2 \cdot s_1 \cdot s_3 \cdot \cos \varphi_2 \\ s_3^2 &= s_1^2 + s_2^2 - 2 \cdot s_1 \cdot s_2 \cdot \cos \varphi_3 \end{aligned}$$

Spaghetti

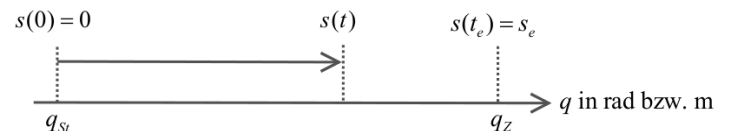
Bewegungsort & Interpolation

Steuerung und Gelenkregelung müssen dafür sorgen, dass die Gelenkkordinaten die Werte der Ziellage einnehmen.

- Die Zielwerte für die Gelenke werden nicht sprungförmig geändert
- Drehmoment auf einem Maximalwert begrenzen (mechanische Belastung, Schwingungen)

Bahnparameter $s(t)$

Bahnparameter $s(t)$ - Zurückgelegte Wegstrecke bei einem Schubgelenk, bzw. der Winkel bei einem Drehgelenk



$$S(t_e) = s_e = |q_z - q_{st}|$$

Software mit Schneebeli

Differenzieren von Vektoren in bewegten Koordinatensystemen